

矿場地球物理論文集

3

苏联 B·H·达哈諾夫等著

石油工业出版社

## 序　　言

近年来，在矿場地球物理学方面出現了一些新的方法，这些方法使我們能够極精确而詳細地研究井的剖面。这些新方法有微电測井法（微电極系法、微屏蔽接地电阻法、屏蔽接地电阻法和接地电阻差法），岩層人工極化电位法以及各種研究井剖面的中子測井法，在根据地球物理資料研究岩層儲油性的方法方面，在地球物理勘探的技术方面，在新勘探法（包括磁法勘探）的創造方面，也都逐漸趨於完善。

莫斯科古勃金石油学院矿場地球物理教研室和放射性实验室所完成的科学研究專題，就反映了上述問題。这些科学的研究的結果都收集在本論文集中。

文集第一部分論述了放射性測井問題（H. M. 勃里諾娃，Ю. B. 加魯佐，Ю. M. 依万諾夫，C. A. 坎托爾，O. A. 巴爾蘇柯夫，O. M. 阿魯丁諾夫，B. B. 拉里奧諾夫和 A. I. 署林的論文）。在矿場地球物理的这一方面，最重要的問題是要研究許多確定勘探工作和对已得資料作解釋工作的精确度的問題，以及創造用同位素研究岩層儲油性的方法和确定油水接触面位置的方法。

文集第二部分論述了各種磁力測井法，这些方法的發展受到一定程度的限制，因为目前还缺乏肯定的理論。C. H. 沙維金的兩篇文章对这种理論的某些問題進行了分析。

文集第三部分刊載了 B. H. 达哈諾夫和 B. Φ. 彼切爾尼柯夫的文章，其中論述了地球物理測井的某些技术問題。

在这方面最重要的問題是制造綜合的測井裝置。这种裝置的原理圖由莫斯科石油学院矿場地球物理教研室首先拟制，后来成了制造七芯電纜綜合仪器車的基础。文集中有一篇文章描述了該仪器車的原理圖，第二篇文章則論述了电測井用的電極系标准化的問題。这个問題早就是一個迫切的問題，所以必須赶快解决。

莫斯科石油学院地球物理教研室全体人員出版本文集的目的，是要尽可能比較全面地論述他們的科学研究工作的結果。其中有許多工作是根据同石油地球物理总局地球物理勘探科学研究所（НИИГР）訂立的合同进行的，作为对石油工业的一种帮助。

莫斯科石油学院院务委員会將感謝讀者們的認真批評，並將負責詳細回答現場工作人員提出的問題，因为我們認為在对本文集所論述的科学研究工作的結果进行工業試驗和应用时，是可能会發生一些問題的。

# 目 录

## 序言

### I. 放射性測井

- 莫斯科石油学院 1952 年型單芯電纜放射性測井双道仪..... O. M. 阿魯丁諾夫 (1)
- 根据中子伽偶測井法数据定量地确定孔隙率..... O. A. 巴爾蘇柯夫 (15)
- 利用中子伽偶測井法确定井所鑽穿的岩層中的油水接觸面位置..... A. H. 霍林, H. M. 勃里諾娃 (37)
- 中子伽偶測井法勘探地帶的半徑及其与源距和油井参数的关系..... A. H. 霍林, I. B. 加魯佐, A. C. 別斯特里柯夫 (46)
- 与研究过程的統計特性有关的放射性測井数据的整理工作和解釋工作的某些特点..... A. H. 霍林, C. A. 坎托尔, B. B. 拉里奧諾夫 (53)
- 指示器長度对中子伽偶法測井結果的影响問題..... A. H. 霍林, C. A. 坎托尔, B. B. 拉里奧諾夫, O. A. 巴爾蘇柯夫 (64)
- 岩層粘土含量对中子伽偶測井讀数的影响問題..... A. H. 霍林, B. B. 拉里奧諾夫 (77)
- 岩層中子特性的研究問題..... B. H. 柯布蘭諾娃 (83)
- 应用放射性同位素研究岩層的儲油性.....

B. H. 达哈諾夫, B. B. 拉里奧諾夫, I. M. 依万諾夫 (92)

## II. 磁測井

磁測井的靜磁場法 ..... C. И. 沙維金 (99)

根据井內的磁場強度確定岩層的磁化率 C. И. 沙維金 (119)

## III. 測井的技術問題

關於測量岩層視電阻率和自生極化電位用的電極系

的標準化和製造問題 ..... B. H. 达哈諾夫 (130)

綜合測量裝置 ..... B. H. 达哈諾夫, B. Ф. 彼切爾尼柯夫 (134)

克服電纜和井壁之間摩擦力所需的拉力的大小.....

..... B. H. 达哈諾夫 (140)

# I. 放射性測井

## 莫斯科石油学院 1952 年型單芯電纜放射性測井雙道儀

O. M. 阿魯丁諾夫 助理科學研究員

本文敘述用單芯電纜作放射性測井的雙道儀器，這種儀器能同時自動記錄兩種射線的強度。

目前在油礦的地球物理部門中採用了一些研究岩層核子特性的新方法。這些方法在礦場地球物理学中被稱做“放射性測井法”。其中用得最廣的有兩種：

一種是 $\gamma$ 射線測井法(ГМ)①，記錄岩層的自然 $\gamma$ 射線的強度。

另一種是中子 $\gamma$ 射線測井法(НГМ)②，記錄由於中子作用於岩層而產生的二次 $\gamma$ 射線的強度。

莫斯科古勃金石油學院為了研究上述放射性測井法，曾經在 1950 年至 1952 年內製造了單道儀器車。這種儀器每起

① ГМ 是 $\gamma$ 射線測井法的俄文縮寫字。文中經常出現，以後不再譯成中文。 — 譯者註

② НГМ 是中子 $\gamma$ 射線測井法的俄文縮寫字。文中經常出現，以後不再譯成中文。 — 譯者註

下一次，能以任何一种标准放射性測量的形式自动記錄射線的强度。兩种放射性測井法各須使用一个井下仪器，不过在採用中子 $\gamma$ 射線測井法时，还必須在仪器中裝設一个中子源。所以在記錄 $\gamma$ 曲線和中子 $\gamma$ 曲線时，就需要起下兩次。

这种井下仪器的指示器部分，包括有三个AMM-9(MC-9)型的計數器。因为在採用 $\gamma$ 射線測井法时，單位時間內的脈冲数相当少，所以要得到精确的曲線圖，井下仪器的移动速度就不得超过200—250公尺/小时。

井下仪器利用三芯電纜同地面仪器相連。

1952年莫斯科石油学院制成了一种双道仪，它用两个道同时自動記錄 $\gamma$ 射線和中子 $\gamma$ 射線的强度（設計者是Д. Ф. 别斯巴洛夫和А. Г. 雪尔奇等人）。双道井下仪 PM 道的指示器部分包括有六个ADB-9(BC-9)型計數器。由於这种計數器对軟的自然 $\gamma$ 射線的效应相当高，而且計數器的工作总面积扩大了一倍，所以井下仪器的移动速度可以提高到500—700公尺/小时。

井下仪器利用兩根電線同地面仪器相連，所以採用这种仪器測井时，可以用由金屬包裹着的所謂“單芯”電纜。

在仪器的結構和线路方面，也規定了用簡化的單个仪器来單独記錄自然 $\gamma$ 射線。

这种仪器是用在AKC-J151型标准电测仪器車中的。

### 同时記錄兩种射線的 PMD 双道仪的 方框线路圖 (圖 1)

射線的第一步記錄工作是用井下仪器的能自动熄灭的放

① PM 即放射性測井法的縮寫。——譯者註

电計數器来进行的(見圖 1, A)。計數器輸出的脈冲的平均頻率與射線的強度成正比。

上面一組 GM 計數器，用來記錄岩層的自然 $\gamma$ 射線的強度。下面一組 HGM 計數器(在再往下的一定距離內裝有中子源)用來記錄 HGM 二次 $\gamma$ 射線的強度。為了不使 GM 計數器記錄到二次射線，必須把這些計數器裝在離中子源相當遠的地方。

方框線路圖所表示的是，在通過各種不同電子級時兩個道的脈冲的形狀(HGM 道的脈冲在線路圖中[圖 1]用塗黑的符號表示)。

從計數器輸出的脈冲的寬度很小(約  $10^{-4}$ 秒)，高度也極小。因此，要想用電纜把兩個道的脈冲傳到地面而不使其振幅和形狀發生很大的失真現象，就必須用每一道內的陰極輸出器把脈冲的強度放大。

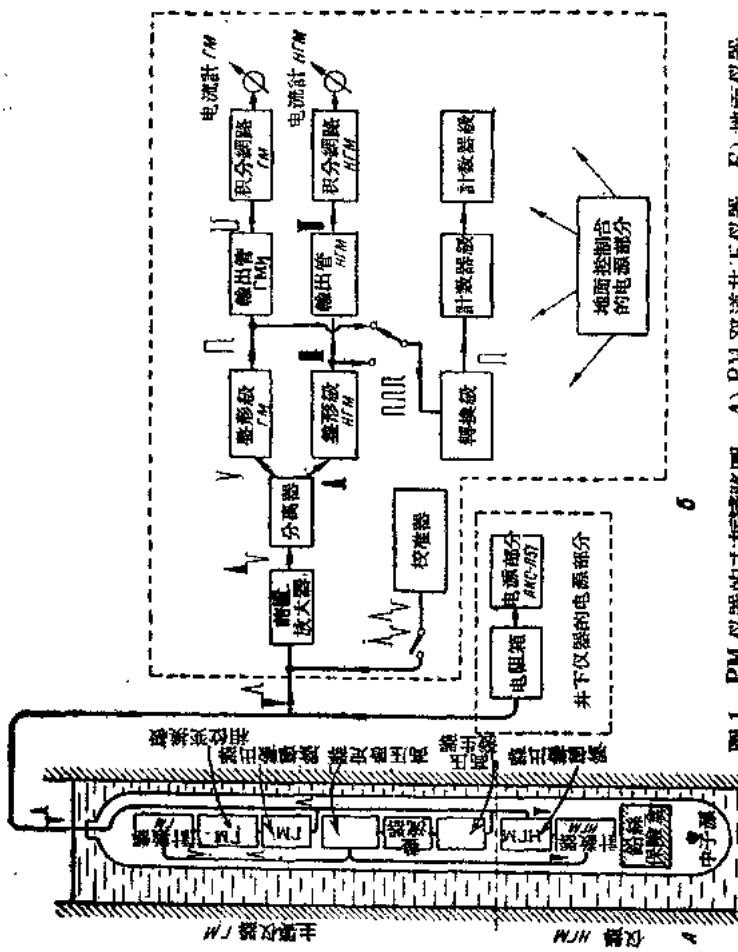
為了同時進行雙道記錄，必須使兩組計數器所輸出的脈冲以不同的極性輸入電纜：GM 道的脈冲是正的，HGM 道的脈冲是負的。為此，在井下儀器中，GM 計數器輸出的脈冲必須在相位變換級中變換自己的符號，然後輸入 GM 陰極輸出器(見圖 1)。

井下儀器的其他各級(高壓發生器、整流器和高壓穩定器)，能供給計數器工作時所需的穩定直流電壓約 1000 伏。

地面儀器由井下儀器的電源部分(使用 AKC-JL51 儀器車中的電源部分)和地面控制台組成。

在地面控制台內，極性不同的 GM 和 HGM 脈冲經過前置放大級而在分離級中分離出來，然後輸入兩個相似的道中。在每一個道中，都裝有整形級、輸出管和積分網路。在

图 1 PM 仪器的方框线路图：A) PM 双道井下仪器，B) 地面仪器。



每一次脈沖輸入以後，整形級就產生一種矩形電壓脈沖。這種脈沖到了輸出管中就變成形狀一致的電流脈沖。電流脈沖經過積分網路就變成連續性的電流。這種電流與所得脈沖的平均頻率成正比。它並且能使照相記錄器的電流計的指針偏轉。

這就是能同時自動記錄兩種射線的線路。

### PM 單芯電纜雙道儀的無線電原理圖

兩組井下儀器的線路示于圖 2。

兩組計數器的接線圖完全一樣。計數器的負極接地，正極通過各該計數器的電阻 ( $R_1-R_6$  和  $R_{34}-R_{36}$ ，各為 6 兆歐) 接在高壓上。負脈沖從正電極(計數器的引出線)，通過阻隔電容器 ( $C_1-C_6$  和  $C_{16}-C_{18}$ ) 鑽入 FM 道的相位變換級的電子管  $J_1$  的控制柵和 HPM 道的陰極輸出器 ( $J_7$ ) 的控制柵上。

FM 主要井下儀器(圖 2)。從 FM 組的六個計數器輸出的負脈沖通過電容器  $C_1-C_6$  鑽入相位變換級的電子管  $J_1^*$  的控制柵上。正脈沖就從這個電子管的屏極通過阻隔電容器  $C_7$  輸入 FM 陰極輸出器(電子管  $J_2$ )的控制柵。放大後的 FM 道正脈沖從這一級的陰極輸出端  $R_{J1-12}$  發出，通過耦合電容器  $C_{15}$ (8 毫法拉)鑽入中間纜芯。

雙道井下儀器的電源為 127 伏電壓的直流電(200 毫安)。儀器所需電流的大小主要取決於電子管的燈絲電流的大小。為了尽量減小這種電流，必須在儀器中採用 12 伏式的電子管。在正常工作情況下，這類電子管的燈絲只需要 150 毫安電流。而且因為這類電子管的燈絲電壓較高，所以

降压电阻  $R_{17}$  中耗損的功率就可減少。

計數器用的高压直流电，是由一个專門的無線电电路从較低的屏压中發出的。这个电路包括：由电子管  $J_3$  和  $J_4$  組成的双管脈冲發生器、由二極管  $J_5$  組成的整流器以及由电子管  $J_6$  和  $J_8$  組成的稳压器。

多諧振盪器可以当作脈冲發生器使用。它的左臂是一个五級管  $J_3$  ( $12K8$ )，右臂是四極管  $J_4$  的三極部分（陰極、控制柵極和簾柵極）。四極管  $J_4$  的簾柵極被当作多諧振盪器右臂的屏極使用。

为了增高脈冲前沿的陡度，可以用电阻  $R_{17}$  把  $J_4$  的控制柵極同屏極电路的正極相連。

多諧振盪器的兩臂由电容器  $C_9$  和  $C_{10}$  椅合。这样耦合后，就能使双臂的电子管交替着完全开啓和完全閉鎖，从而引起振盪。当右臂閉鎖时，脈冲变压器  $TP$  初級綫圈的电流被截断，而把脈冲电压感应到次級綫圈中去。振盪出的频率每秒約 10 000 週。变压器次級綫圈中的高压电流脈冲，經過由二極管  $1H1$  ( $J_5$ ) 組成的半波整流器整流后积聚在  $C_{12}$  上。当充电最饱和时，电容器兩板之間的电压約等於脈冲的振幅。

二極整流管的灯絲是接在高压上的。因此，灯絲电源由同一个变压器中的專用灯絲綫圈供給。电容器  $C_{12}$  上的約 1500 伏电压被接入电子稳压器的輸入端。

把电子稳压器接成一个並联电路，五極管  $J_6$  ( $12K8$ ) 就是用来作稳压器的。它的工作原理如下：儲电电容器  $C_{12}$  放出的高压电流被接在分压器上。这个分压器由电阻  $R_{20}$  (1.6 兆欧) 和电子管  $J_6$  的内电阻組成。为了稳定  $J_6$  的屏压，必

須通過一個分壓器使第一柵極的電位受同一屏壓的控制。這個分壓器由電阻  $R_{22}-24$  和  $R_{25}-28$  組成。電子管的陰極接在穩壓管  $J_6$  的直流正電位上。穩壓管通過屏電路的電阻  $R_{32}$  得到補充電源，這是由於電子管  $J_6$  通過的電流還不足以使穩壓管進行正常工作。 $J_6$  柵極上的控制壓等於陰極電壓與柵極電壓之間的電位差。這個控制壓也能控制通過電子管的電流的大小，因此也能控制穩壓級的電壓降。

這樣，當穩壓器輸入端的高壓增高時，電子管  $J_6$  的控制柵的電位就會增高，通過它的電流就會增大，穩壓級的電壓降也就会增大。因為穩壓器上的電壓降增大了，所以穩壓器輸出端的電壓變化極微。相反，當穩壓器輸入端的電壓降低時，控制柵的電位就會降低，通過電子管的電流和高壓落差就會減小， $J_6$  的屏極電位就會增高以補償  $C_{12}$  電壓的降低。計數器上的電壓是由  $J_6$  的簾柵極供給的。簾柵極通過 1 兆歐的電阻與屏極相連。為了再經過一次濾波，穩壓器輸出端的分路上必須接一個電容器  $C_{13}$ 。

必須指出，放電計數器所需的電流很小，實際上發生器的全部功率都消耗在穩壓級中。穩壓器輸出端的電壓大小取決於分壓器臂  $R_{22}-24$  與  $R_{25}-28$  (15 兆歐—0.75 兆歐) 的比值。在調整穩壓器時，電阻  $R_{25}-28$  應接在輸出電壓約為 950 伏的地方。

在 HTM 附屬儀器中裝有三個 MC-9 型的計數器和一個由電子管  $J_7$  組成的陰極輸出器級。這一級陰極輸出器同  $J_1$  組成的陰極輸出器接在同一個輸出端上。

HTM 附屬儀器計數器上的屏極電源、燈絲電源和高壓，是通過一個五腳接線插座由 FM 主要儀器供給的。

当切断附属仪器而让 IM 仪器单独工作时，并下仪器的灯丝电路就会被切断，所以必须在 IM 仪器的五脚接线插座上装置一个带有电阻的交换插子。这个插子上的电阻要等于一个电子管的灯丝电阻。

地面控制台。地面控制台的线路示于图 3。IM 道的正脉冲和 HIM 道的负脉冲沿着并下仪器电缆中的一根叫做“信号线”的缆心输入控制台的输入端，信号线上的脉冲通过阻隔电容器  $C_1$  输入电子管  $J_1$  的左三极管的控制栅上。这个电子管能把两个道的极性不同的脉冲放大。放大后的脉冲从电子管  $J_1$  的左三极管的屏极出发，通过级间耦合电容器  $C_3$  和  $C_4$  输入电子管  $J_1$  的右半部和  $J_2$  的左半部（两半部都被接成二极管）。

电子管  $J_1$  的右半部只能通过 HIM 的正脉冲，电子管  $J_2$  的左半部只能通过 IM 的负脉冲。

为了消除脉冲倒流和干扰所引起的虚假动作，每个二极管都被一个数值不大的正电压（15 伏以下）箝锁着，这个正电压由分压器  $R_{13}$  供给。因此，每个二极管只能通过振幅比箎锁电压高的并下仪器的脉冲。

电容器  $C_2$  是用来使两个道的总箎锁电路退耦的。电容器  $C_3$  和  $C_4$  通过电阻  $R_5$  和  $R_7$  接地，以便洩漏其积储的电荷。

下面分别来研究 IM 和 HIM 脉冲的通过情况。HIM 道的正脉冲从  $J_1$  右二极管的阴极通过电容器  $C_{15}$  输入  $J_5$  左三极放大管的栅极。放大后的倒脉冲输入电子管  $J_6$  右半部的栅极，并从右半部的屏极（正极）输入 HIM 道的脉冲整形用的多谐振荡器（由  $J_6$  组成）的输入端。

TM 道的負脈冲从电子管  $J_2$  左二極管的屏極輸入电子管  $J_3$  右半部的柵極，並从右半部的屏極（正極）輸入 TM 道的脈冲整形用的多諧振盪器（由  $J_6$  組成）的輸入端。

在兩個道中，由电子管  $J_3$  和  $J_6$  組成的兩個脈冲整形用的多諧振盪器是類似的。為了加以說明起見，我們來研究一下由电子管  $J_6$  組成的多諧振盪器。

整形級是一個陰極耦合的閉鎖多諧振盪器電路。左臂到右臂由電容器  $C_{19}$  來耦合，右臂到左臂由陰極電阻  $R_{37}$  來耦合。多諧振盪器處於左臂的穩定的閉鎖狀態和右臂的開啓狀態，這是因為右臂柵極通過電阻  $R_{35}$  接在屏極電源線上，而左臂柵極通過電阻  $R_{36}$  接地。

左臂柵極上產生偏壓是因為左三極管的柵極電位低於陰極的閉鎖電位。通過  $C_{18}$  鑽入的起步正脈冲會使多諧振盪器跟着動作起來。

當多諧振盪器動作起來時，在電子管  $J_6$  的右三極管的屏極上就形成一個正電壓脈冲。這個脈冲的寬度取決於耦合電容器  $C_{19}$  的數值、屏極電阻的數值和柵極電阻的數值。

在變位後，多諧振盪器能在新的狀態下持續到耦合電容器  $C_{19}$  再次充電的時值，然後多諧振盪器就回復到原來的狀態。

當柵極與陰極之間的電位差變得小於電子管屏電流的值止電壓或接近於這一電壓時，多諧振盪器就能自動振盪起來。所以必須注意電路中能使振盪級進行正常工作的參數狀態。

整形後的矩形正脈冲，通過電容器  $C_{20}$  和開關  $IIK-2$ （第二接觸點）從右臂的屏極輸到輸出管  $J_7$  的控制柵上。

为了使记录速度均匀起见，必须在地面控制台内装置两个由电子管  $\text{J}_4$  和  $\text{J}_7$  组成的“五极积分器”（这是技术科学副博士 Г. Р. 戈里别克提出的）。在两个道中，这两个电子管的工作是类似的。为了举例说明，我们可以研究一下由电子管  $\text{J}_4$  组成的这一级，即  $\Gamma\text{M}$  道的输出级。

“五极积分器”利用了五极管的特性：即当簾栅极电压固定时，五极管的屏流数值实际上与屏压无关。整形后的脉冲通过  $C_9$  输入  $\text{J}_4$  的控制栅而使输出管  $\text{J}_4$  闭锁和开启。每一个脉冲都会使  $\text{J}_4$  的屏电流产生矩形的脉冲。这种矩形脉冲在接入输出管屏电路中的积分網路  $RC$  里被平均了。这种积分装置的特点是：虽然积分电容充电的反电位也会改变  $\text{J}_4$  的屏极电位，但是因为五极管的屏极有上述特性，所以屏电路中的电流脉冲仍旧能保持原有的形状。因此，几十伏的反电位并不能改变积分电流与平均频率的线性关系。

$\Gamma\text{M}$  道的积分網路由电阻  $R_{22}-_{23}$ ,  $R_{24}-_{26}$  和电容  $C_{10}-_{12}$  组成。

利用开关  $\Pi\text{K}-3$  可以使电容器  $C_{10}-_{12}$  連起来，以便使时间常数从 3 秒增为 6 秒和 12 秒。电阻  $R_{22}-_{23}$  (30 万欧) 是主要电阻，它同电容器  $C_{10}-_{12}$  共同决定积分器的时间常数。电阻  $R_{24}$ 、 $R_{25}$ 、 $R_{26}$  (450 欧) 被用来調整記錄刻度盤的灵敏度。通过开关  $\Pi\text{K}-4$ ，电流計輸入端可以同这三个电阻的任何一个接成旁路。

电流計与积分網路的电阻串联。这样，从計数器发出的非週期性脉冲就平均了，并在电流計中形成一种与脉冲频率成正比的电流。因而，电流計上的光点偏轉度同記錄脉冲的速度成正比。在所得脉冲频率发生变化时，电流計上的光点

反应速度就由积分網路的“時間常数”来决定。在所得脈冲頻率發生变化的情况下，“時間常数”越大，电流計光点就移动得越慢。

由於核子反应有統計性質，所以要用积分網路来进行工作。計數器中的脈冲並不是經過均等的間隔時間發生的，它們总是按各个偶然情況的統計規律分佈的。所以單位時間內的脈冲数是在其平均数左右变动着的。这就說明了为什么当井下仪器停止不动时，电流計的光点仍旧变动。为了減小电流計光点的变动，也必須使用积分網路来校平与所得脈冲頻率成正比的电流。

但是記錄裝置的慣性增大后，划分薄岩層的能力就会降低。为了精确地划分出薄岩層，就必須降低測井的速度。

根据必須在曲線圖上划出的岩層的厚度以及岩層的放射性强度就能决定积分器的時間常数和井下仪器的移动速度。

显然，同时起不小作用的还有其他一些因素：放射綫指示器的大小和排列方向，放射綫的硬度，源距，井徑等。對於这些因素都應該进行專門的研究，本文就不再敍述了。

为了調整地面控制台的刻度，电阻  $R_{24}-_{28}$  应該是可变的。

为了用机械計數器來記錄每一个道的脈冲数，必須在控制台上裝一个由电子管  $J_9$  組成的轉換級和一个由电子管  $J_{10}$  組成的能延續脈冲的閉鎖多諧振盪器。机械計數器就接在振盪器的輸出端上。

由电子管  $J_9$  组成的转换级，是一个有两种稳定状态的触发电路。触发电路由两个放大级组成；每一级的屏极都通过由电容器旁路的电阻与另一级的栅极耦合。触发电路的阴极接地，而栅极通过电阻  $R_{53}$  和  $R_{59}$  接在 80 伏的稳定的负电压上。

通过电容器  $C_{30}$  和  $C_{32}$  饷在两个控制栅上的脉冲，能使触发电路工作起来。当开关  $IIK-2$  接触在  $I$  上时，转换级的输入端就收到  $\Gamma M$  道的脉冲。当开关接触在  $S$  上时，转换级就收到  $H\Gamma M$  道的脉冲。每收到一次脉冲时，触发电路就要倒相。于是每一个三极管就交替着闭锁和开启。

电阻  $R_{50}$ ,  $R_{51}$  和  $R_{52}$  是触发电路的屏极负载，通过电阻  $R_{54}-R_{55}$ ，与此负载并联着两个氖管。当三极管闭锁时，相应的氖管就熄灭；当三极管开启时，氖管就闪光。所以，由每一次脉冲输入而引起的氖管的交替闪光，就成了转换级进行工作的指标。脉冲从转换级的右三极管的屏极负载部分，通过电容器  $C_{33}$  饷入计数级多谐振荡器（由电子管  $J_{10}$  组成）的左三极管的栅极。

当把开关  $IIK-2$  换接在  $S$ （“照相记录端”）上时，转换级和多谐振荡器的屏压就被切断。

为了检查和调整地面仪器的测量道，必须在控制台上装设一个校准器。校准器是一个由电子管  $J_8$  组成的开启多谐振荡器电路。校准器会产生矩形脉冲，取微分后，这些脉冲就输入地面控制台的输入端。校准器的周期性脉冲频率，随着耦合电容  $C_{27}$  和  $C_{38}$  的转换而变化。开关  $IIK-1$  接在  $S$  上时，校准器发出每分钟  $1580 \pm 20$  次的周期脉冲；开关  $IIK-1$  接在  $I$  上时，校准器发出每分钟  $6000 \pm 80$  次的脉冲。